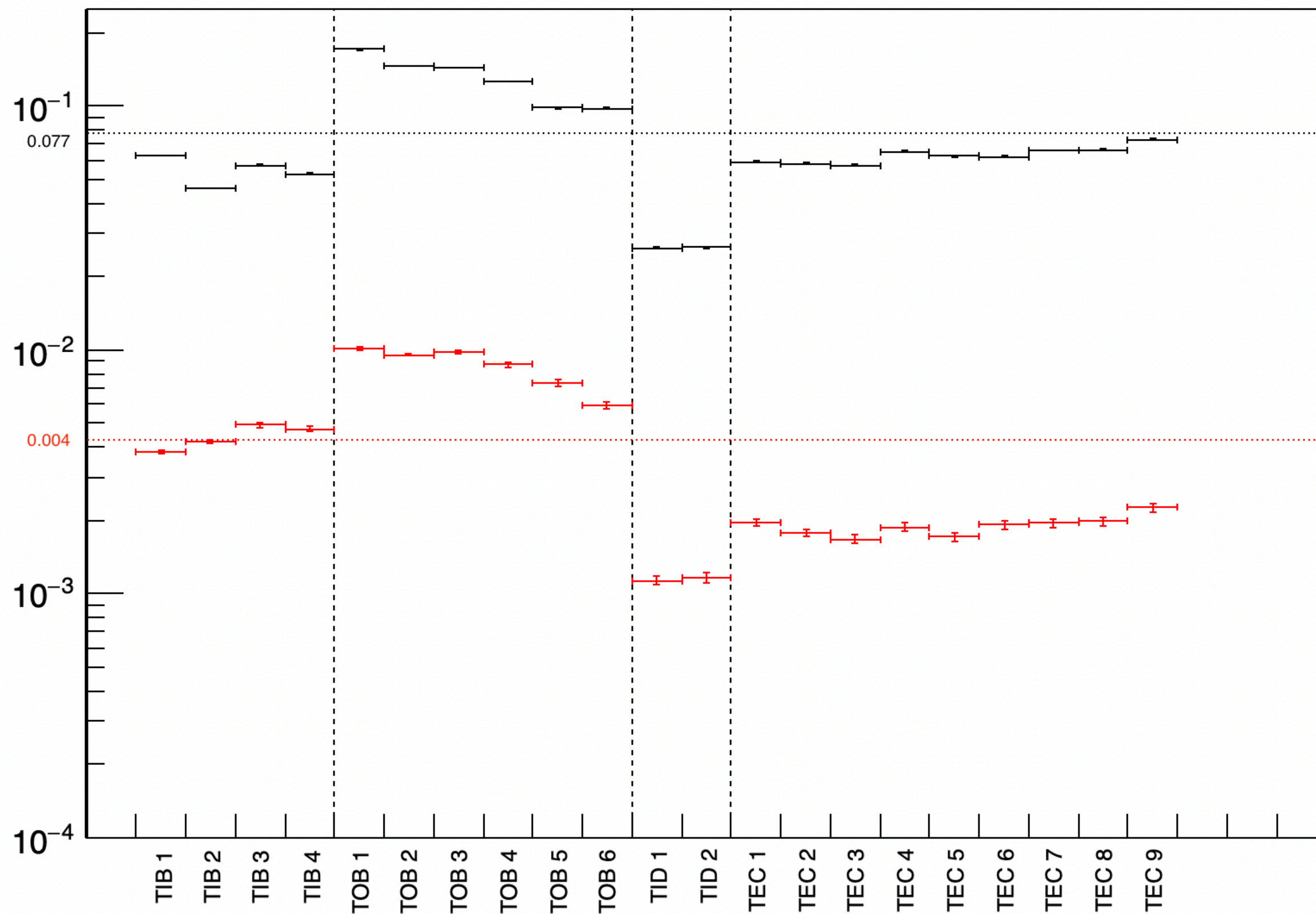


Filtre sur les traces :

- $\text{Chi}^2 \text{ par ddl} \leq 5$
- N valid hits  $\geq 8$
- Au moins 3 clusters dans les strips

Masse gluino : 2400 GeV  $\rightarrow$  Même masse pour tous les R-hadrons

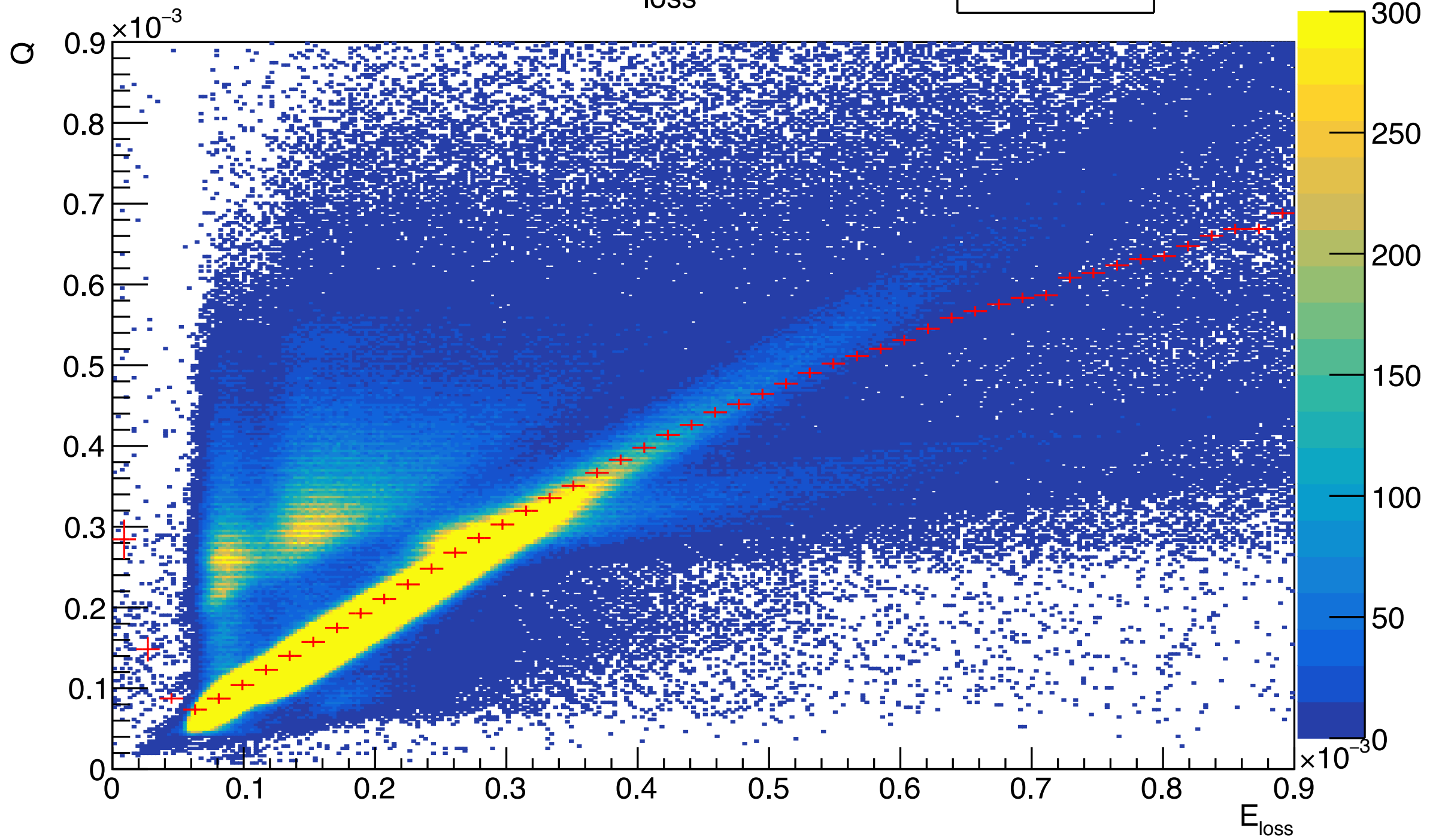
Ratio de saturation en fonction de la couche



# Total

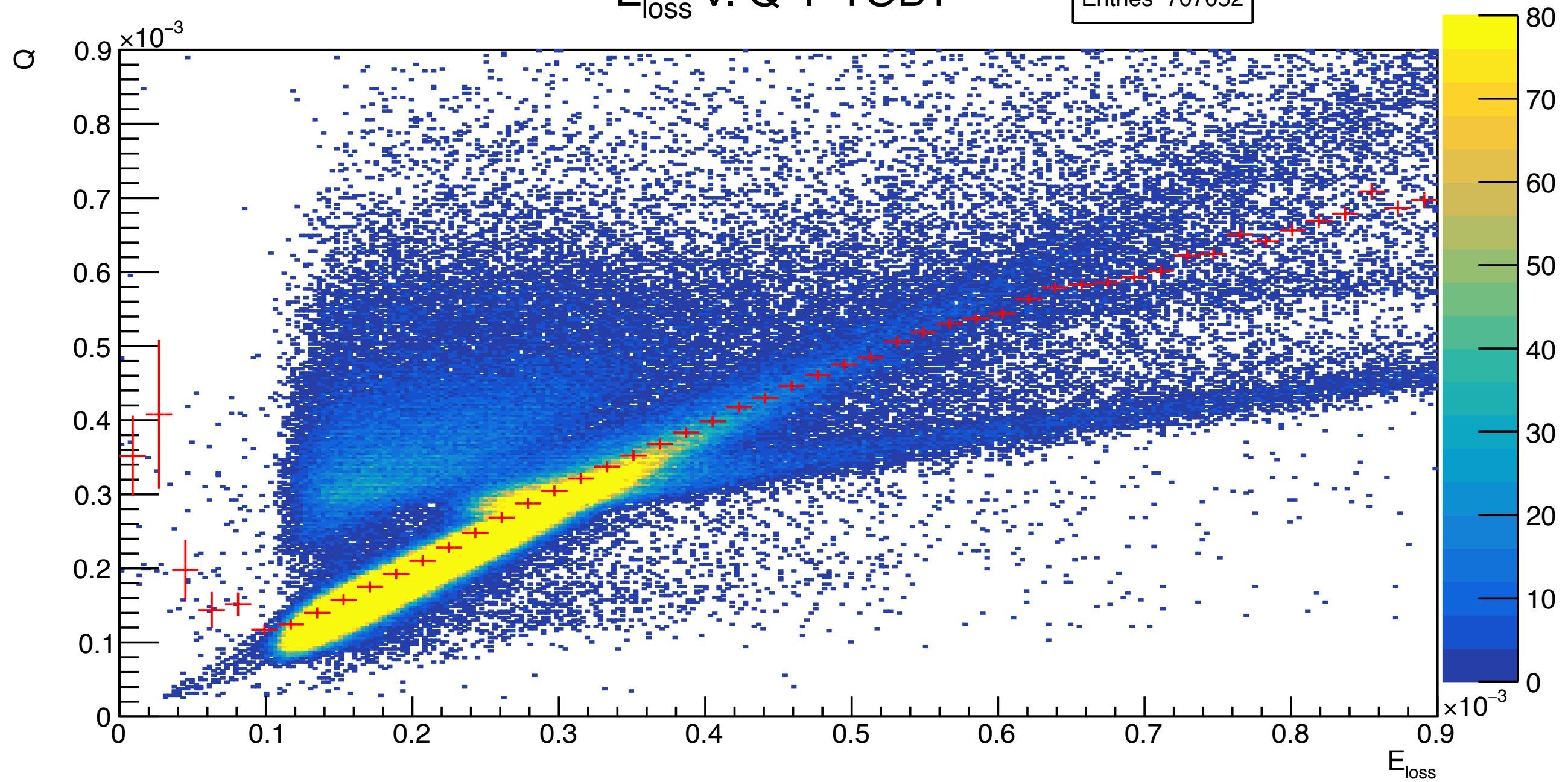
$E_{\text{loss}}$  v.  $Q$

Entries 8802508



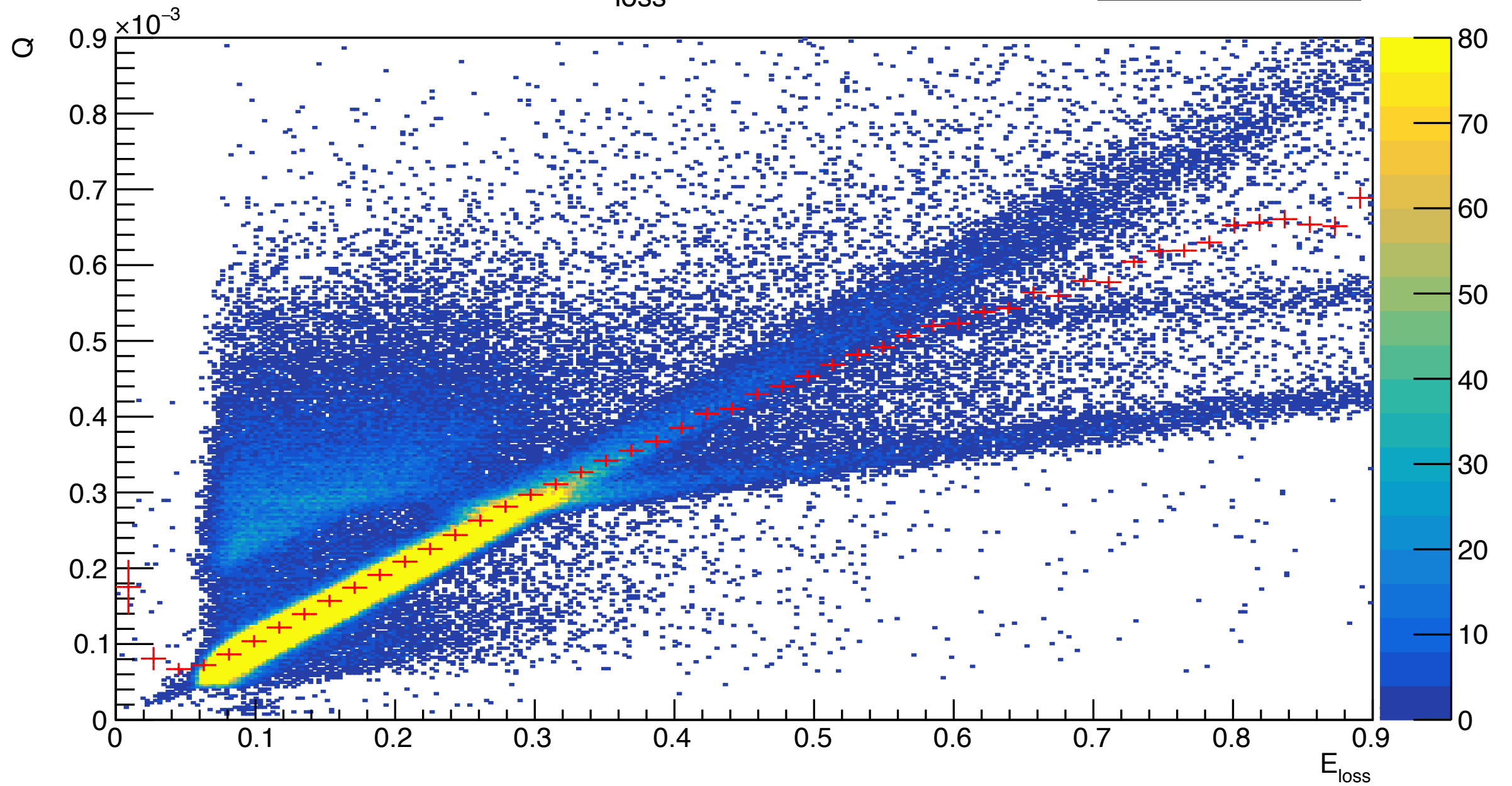
# $E_{\text{loss}}$ v. $Q$ | TOB1

Entries 707052



$E_{\text{loss}}$  v.  $Q$  | TIB1

Entries 874822

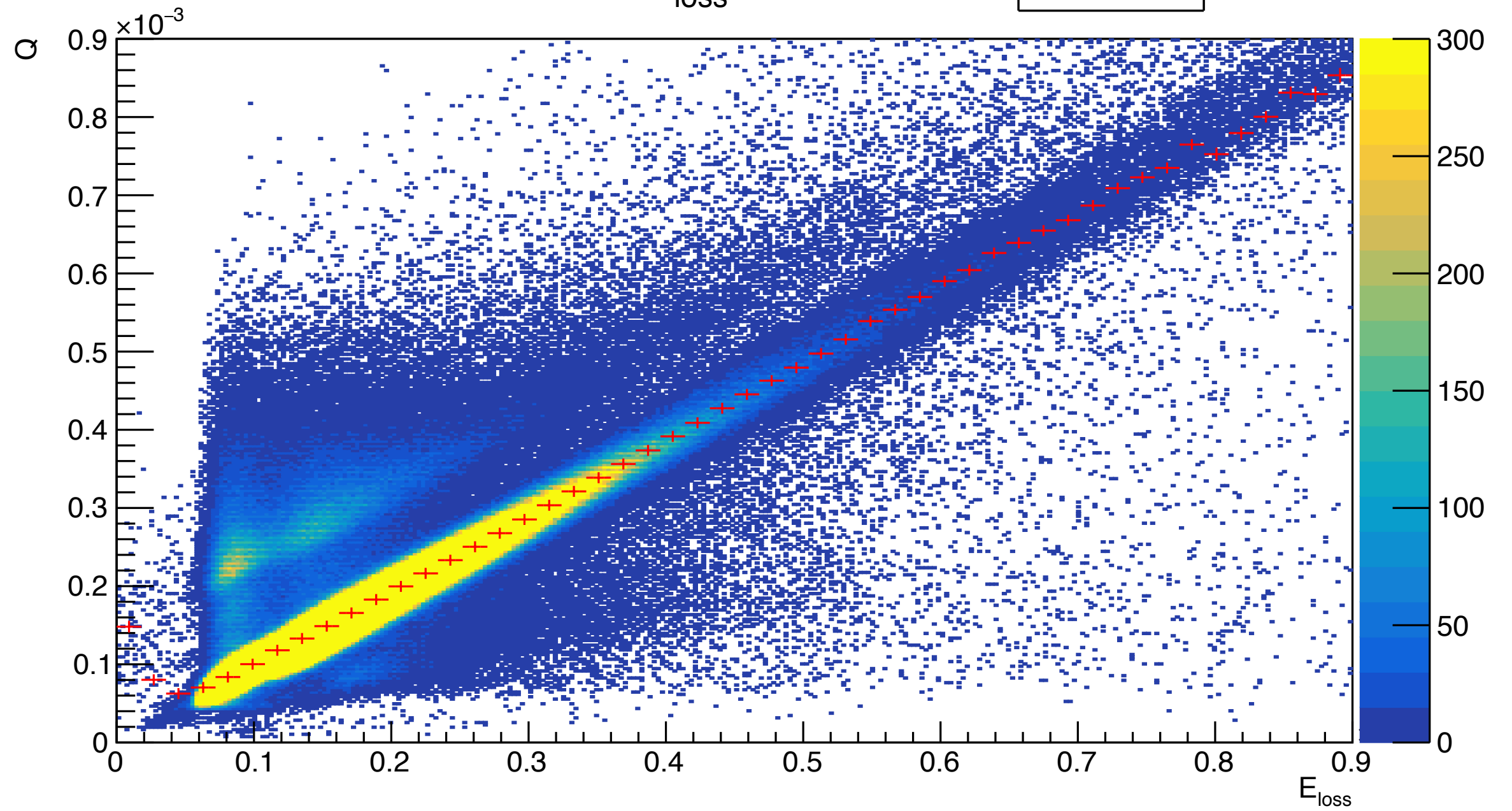


# Sans saturation



$E_{\text{loss}}$  v.  $Q$

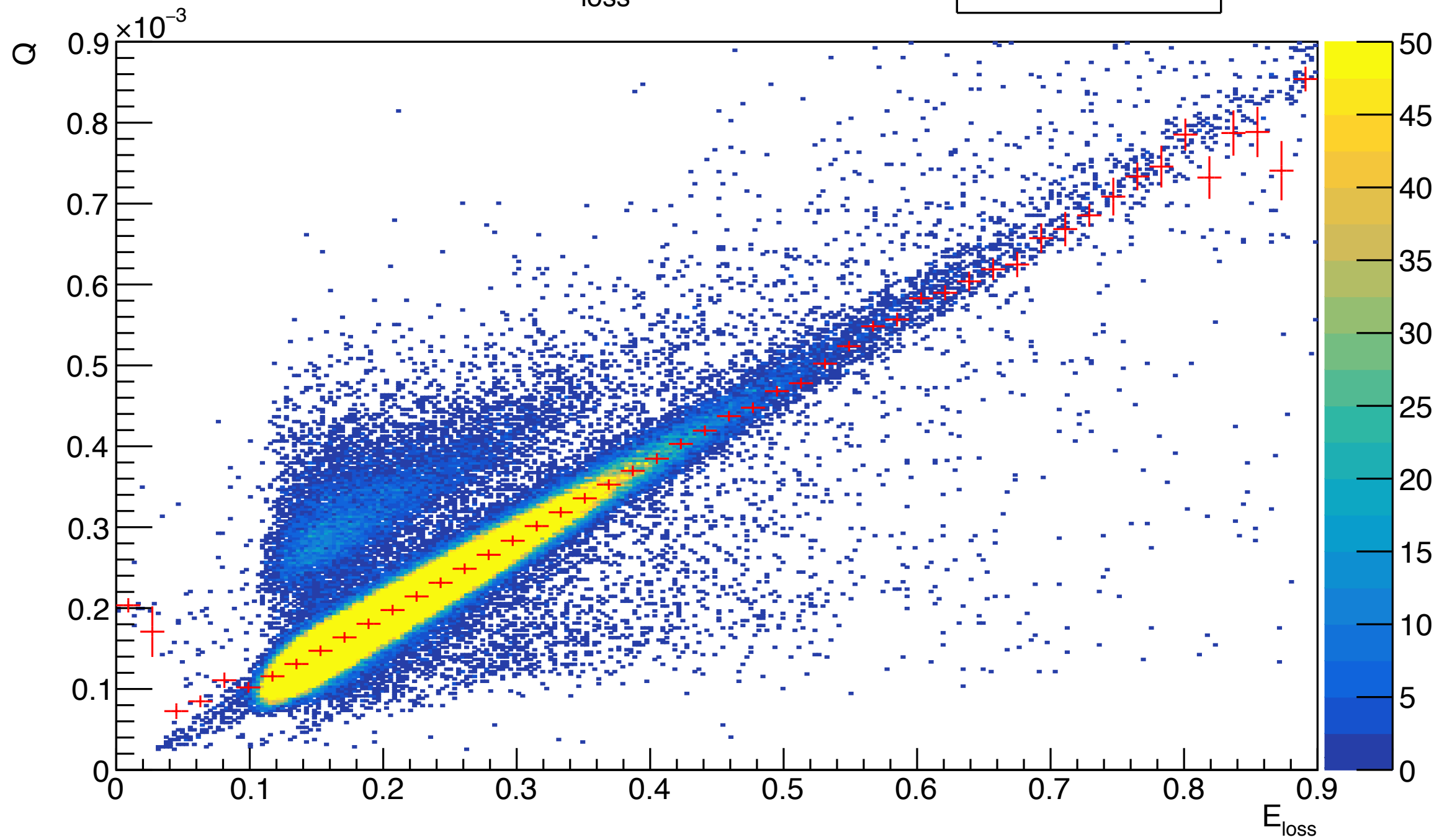
Entries 8088281





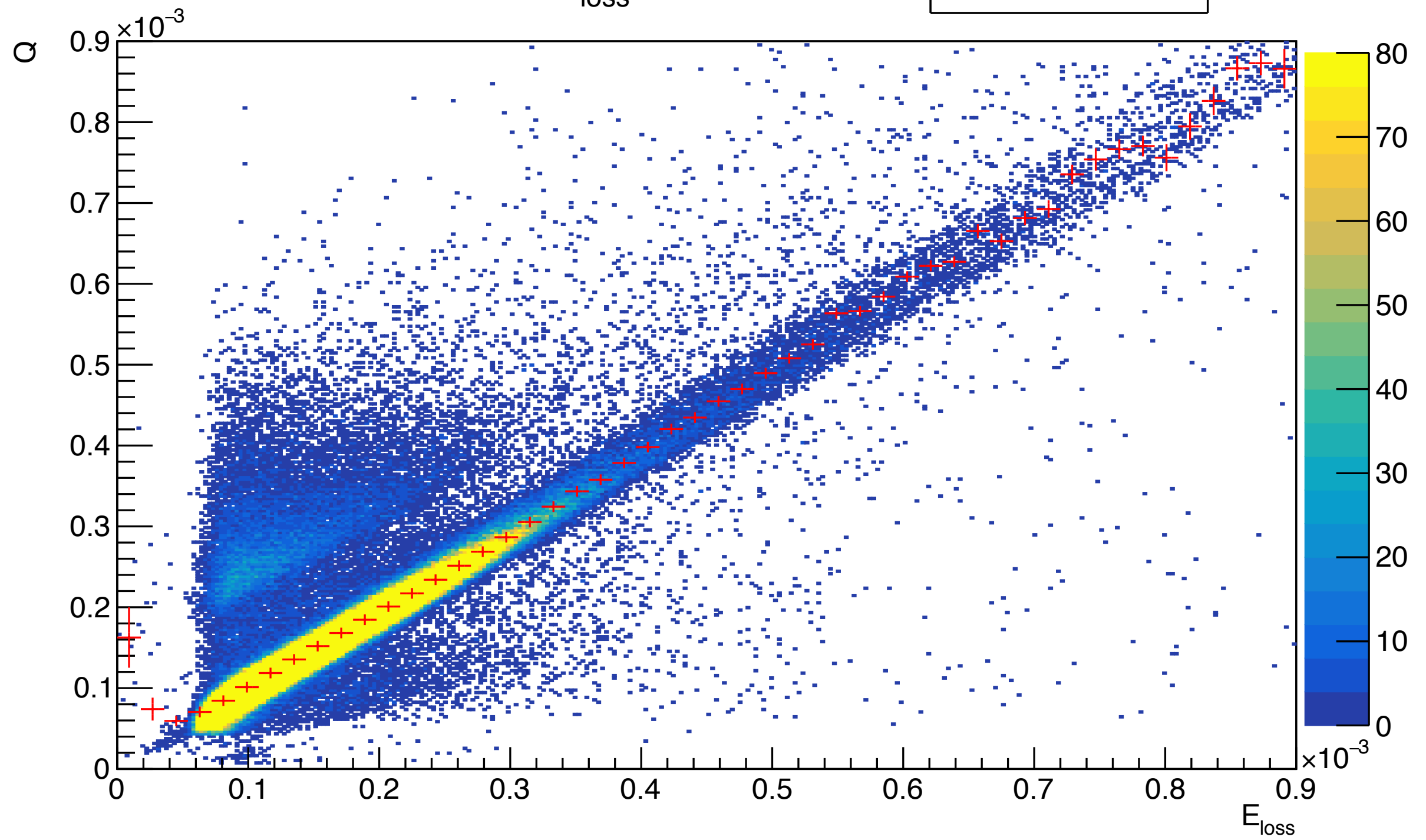
$E_{\text{loss}}$  v.  $Q$  | TOB1

Entries 579232



$E_{\text{loss}}$  v.  $Q$  | TIB1

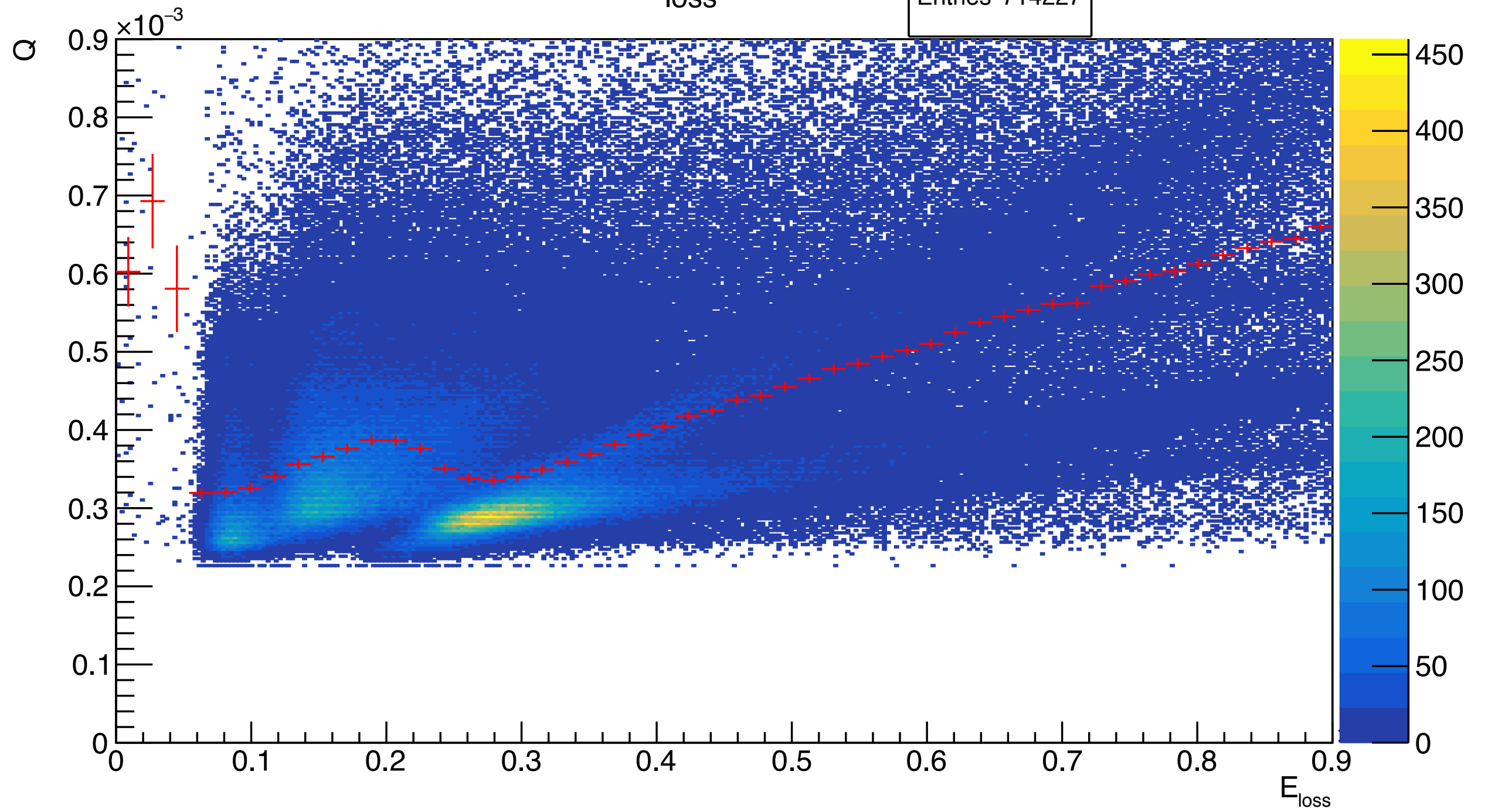
Entries 816720



# Saturation

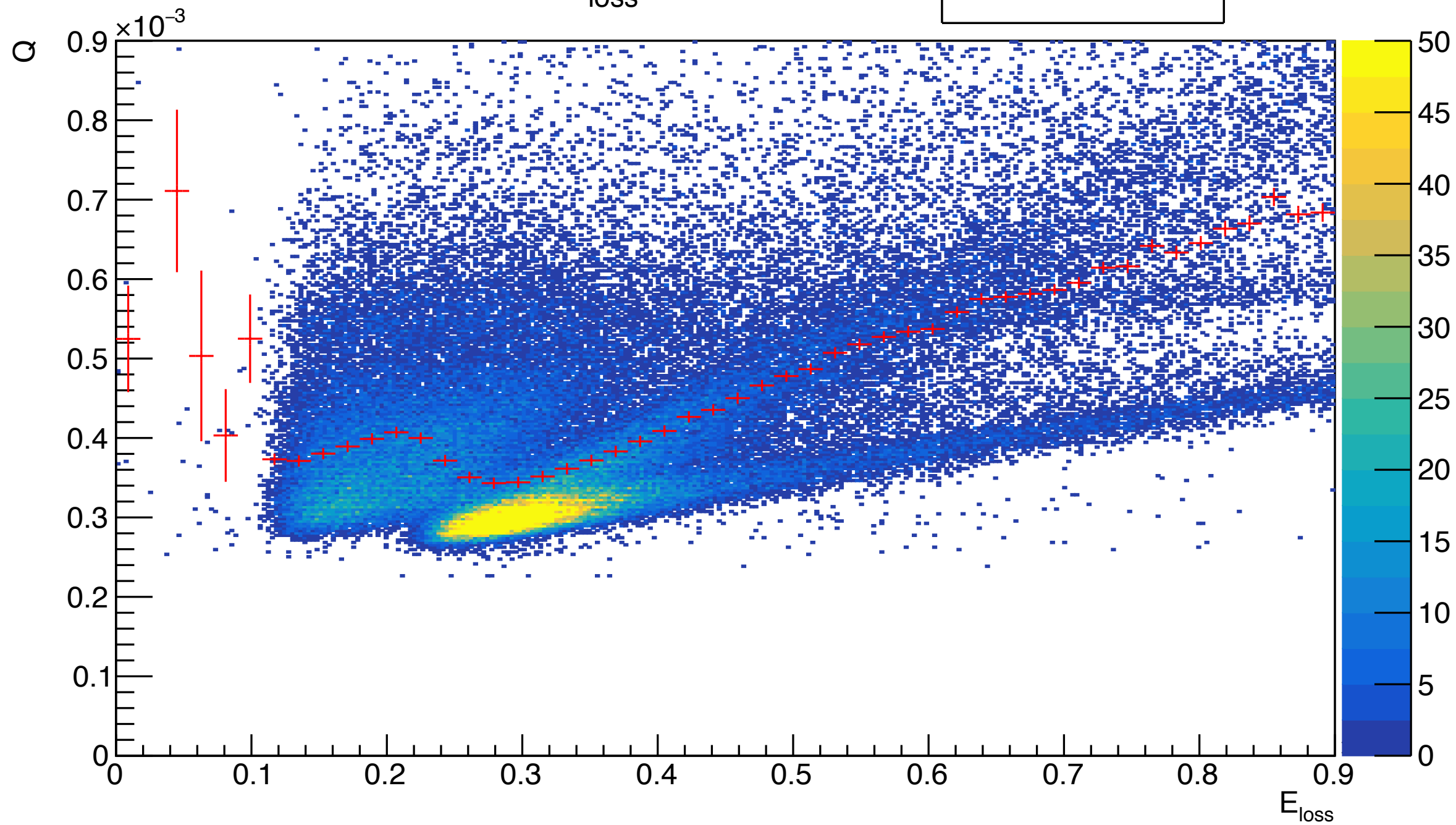
$E_{\text{loss}}$  v.  $Q$

Entries 714227



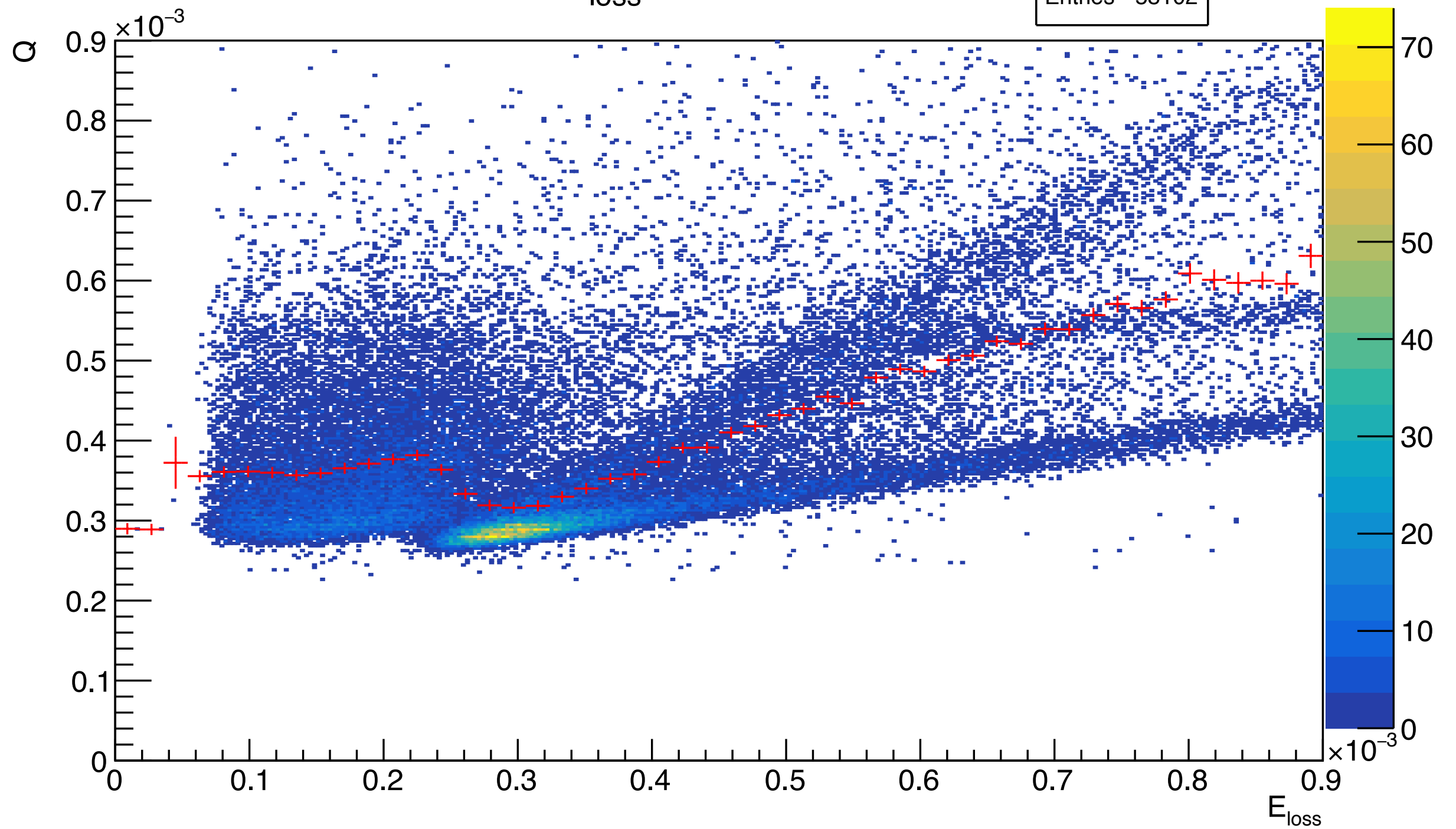
$E_{\text{loss}}$  v.  $Q$  | TOB1

Entries 127820



# $E_{\text{loss}}$ v. $Q$ | TIB1

Entries 58102

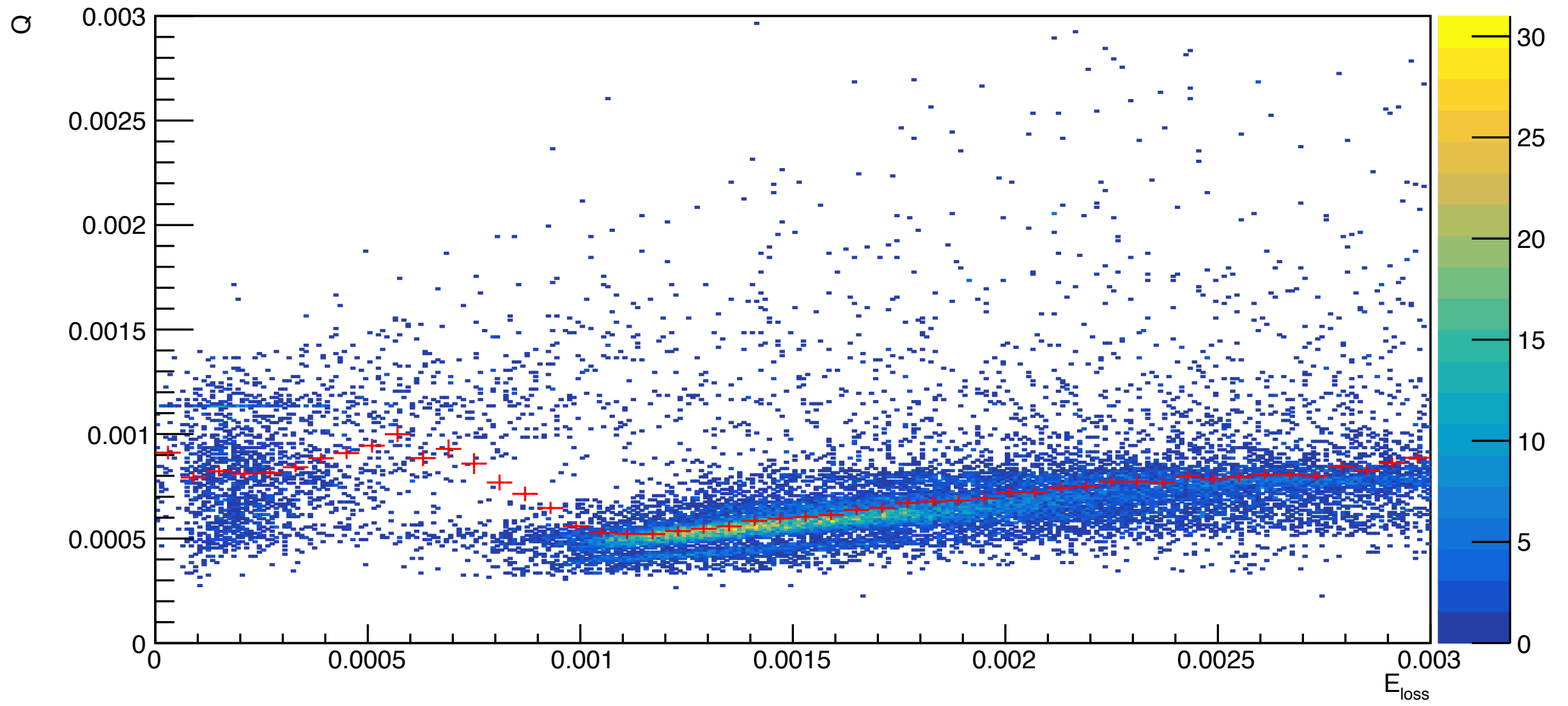


# Saturation 255



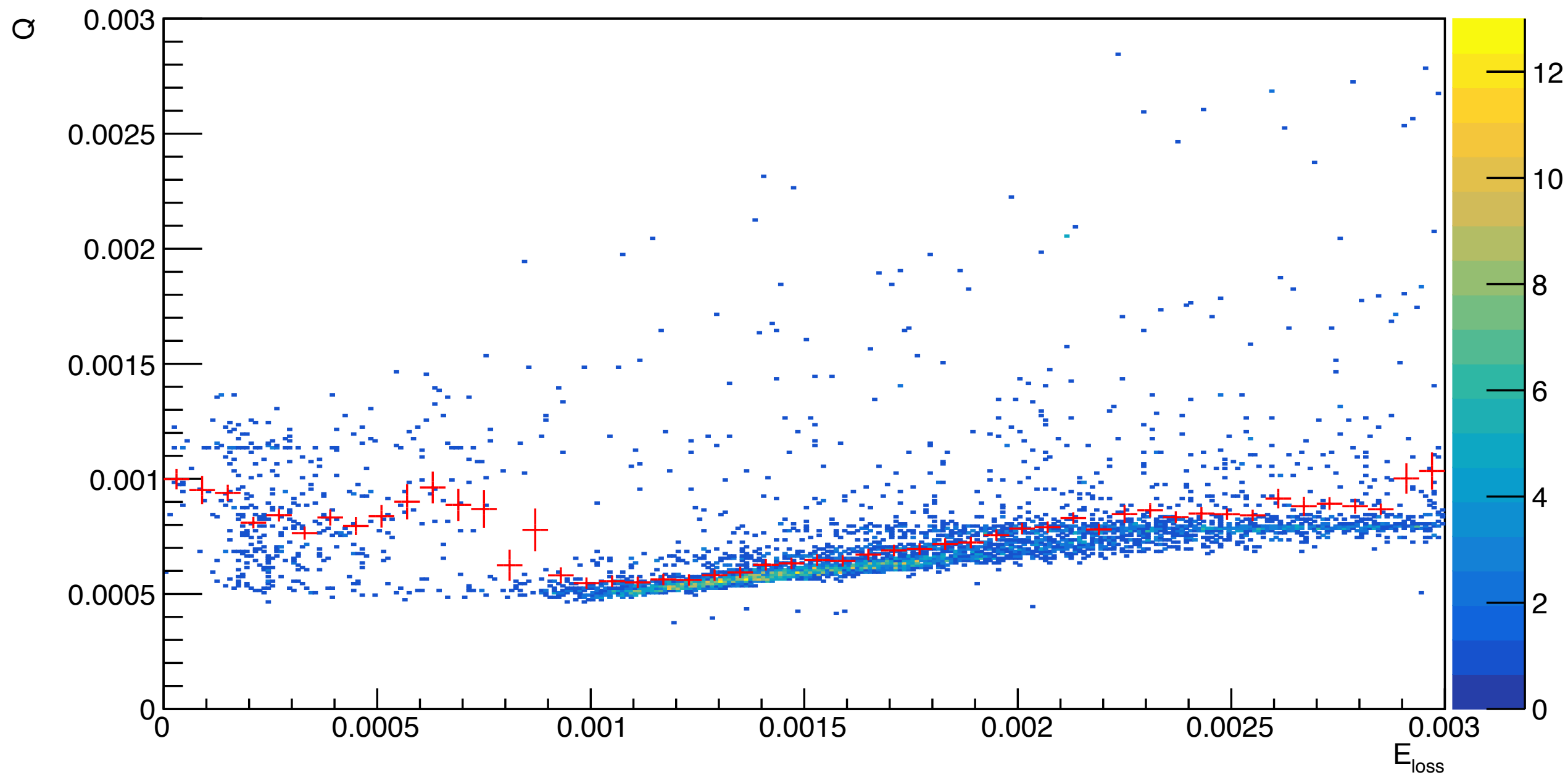
$E_{\text{loss}}$  v.  $Q$

Entries 37533



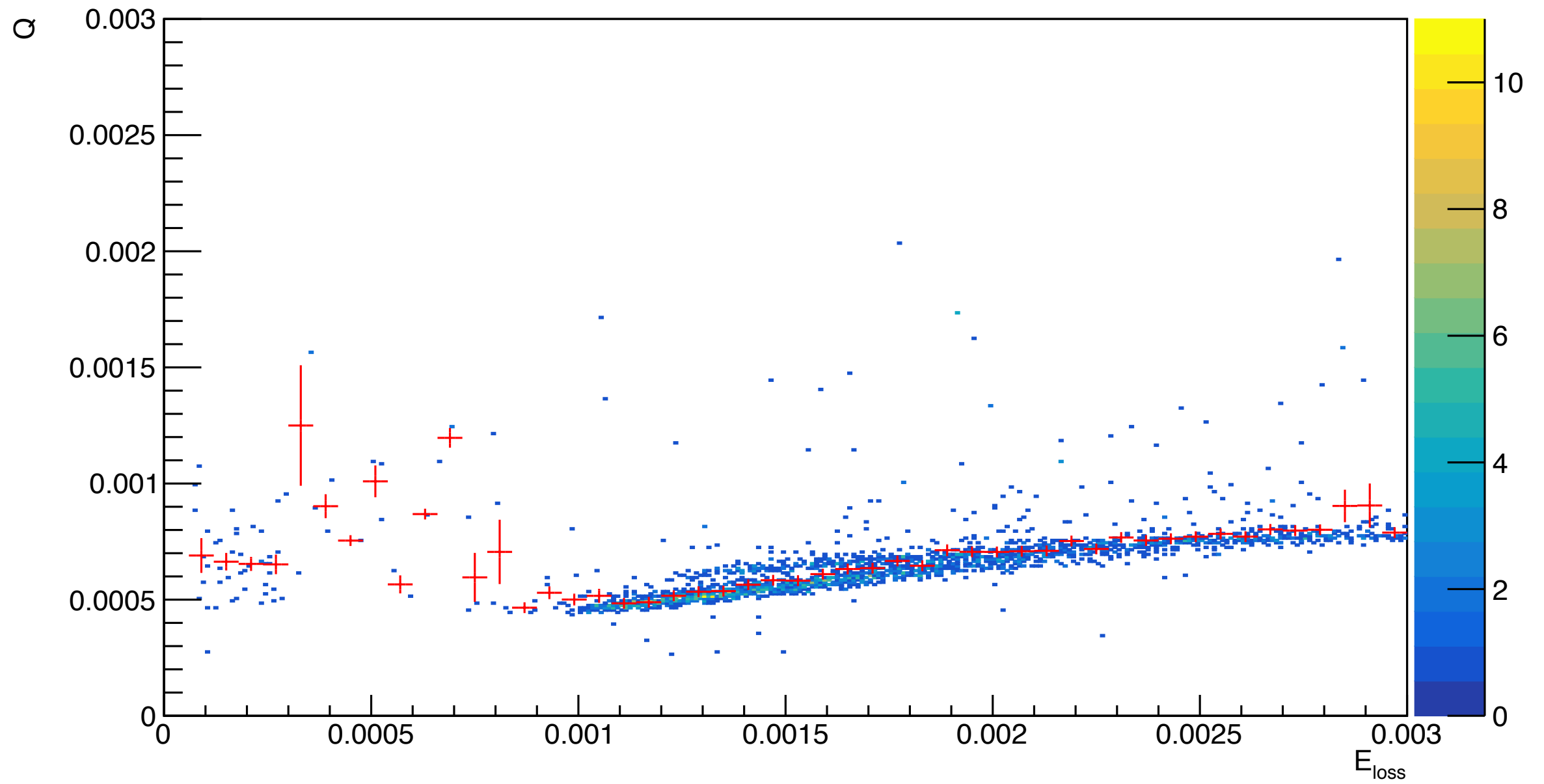
$E_{\text{loss}}$  v.  $Q$  | TOB1

Entries 7175

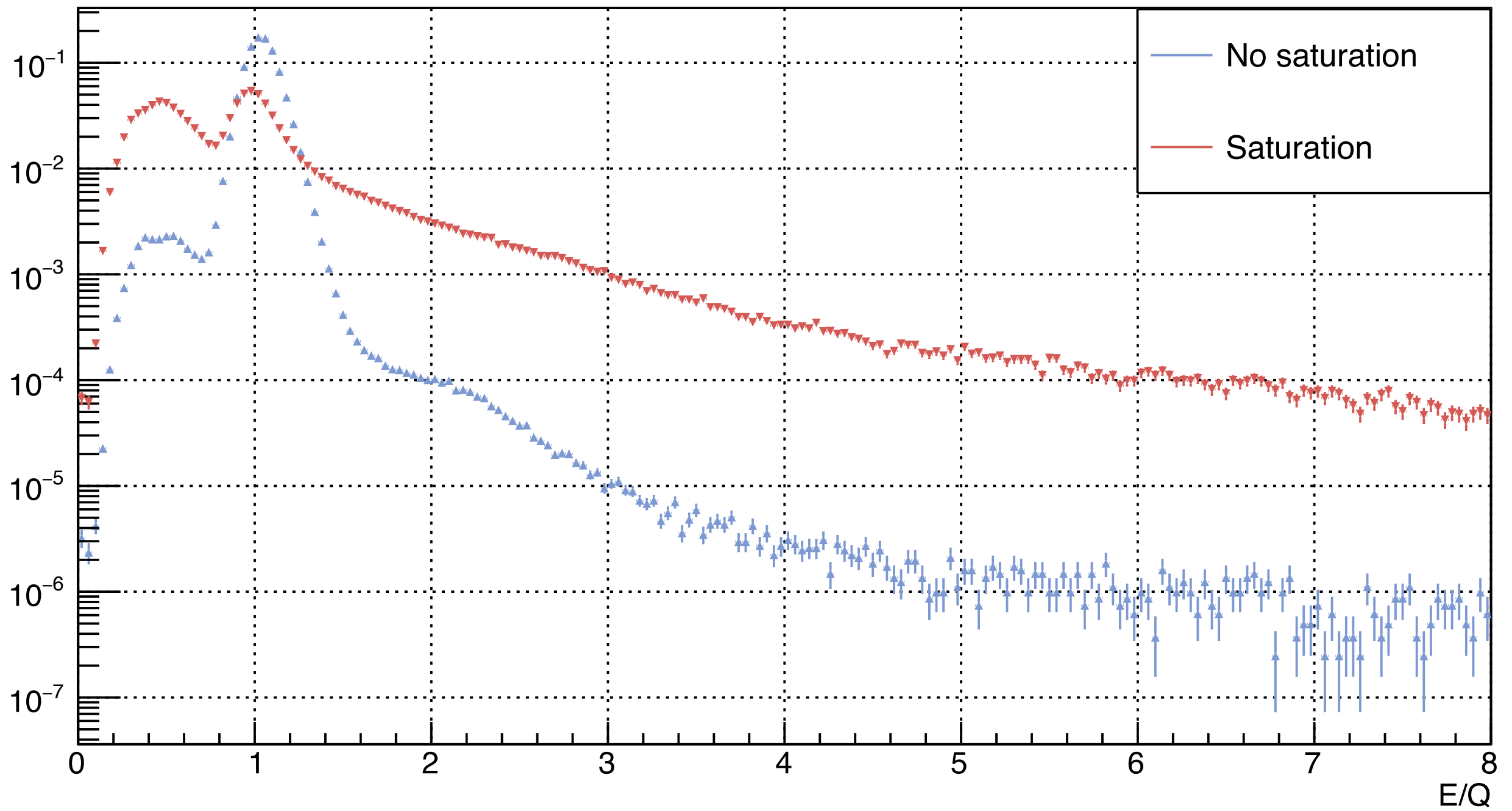


$E_{\text{loss}}$  v.  $Q$  | TIB1

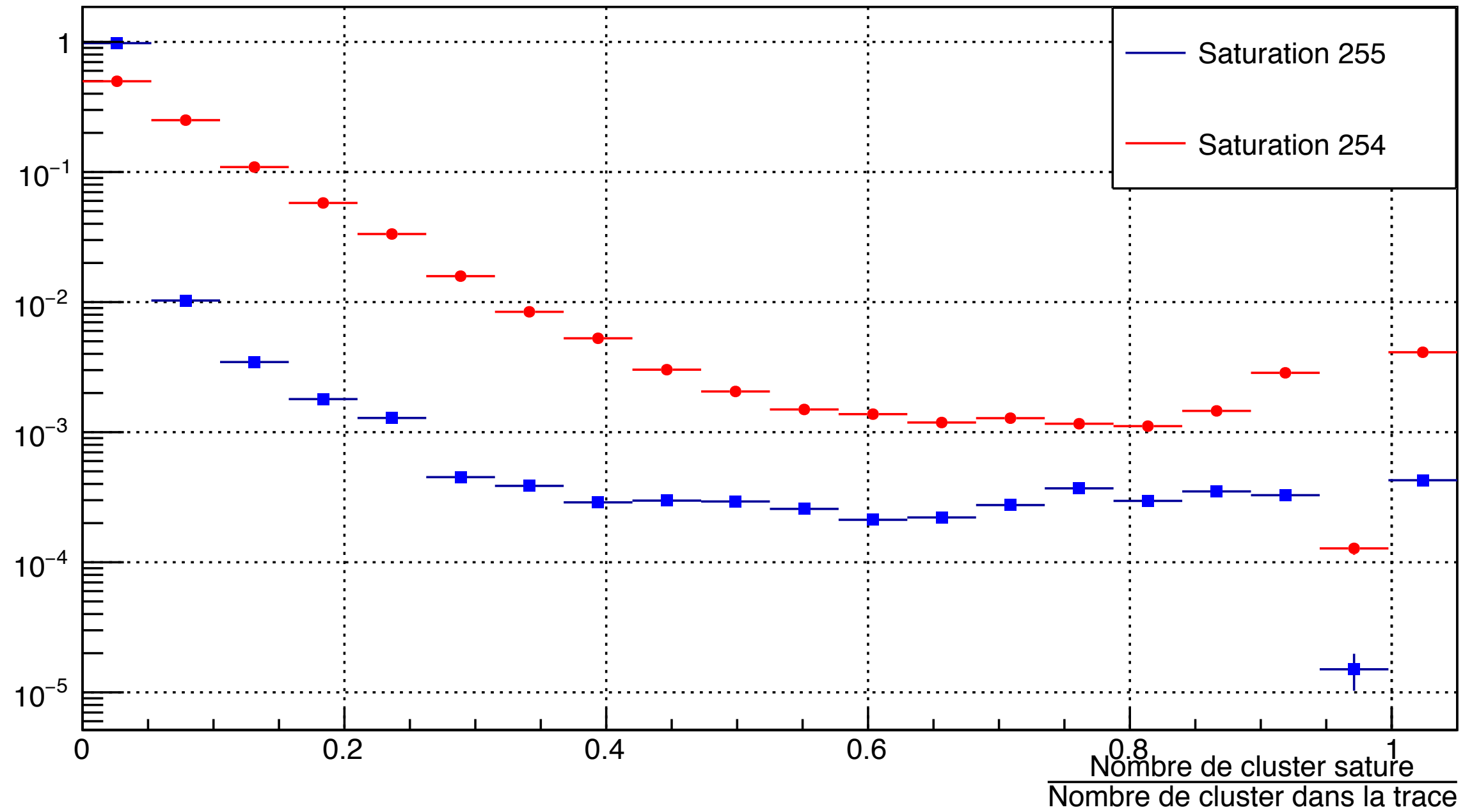
Entries 3364



# Distribution de E/Q

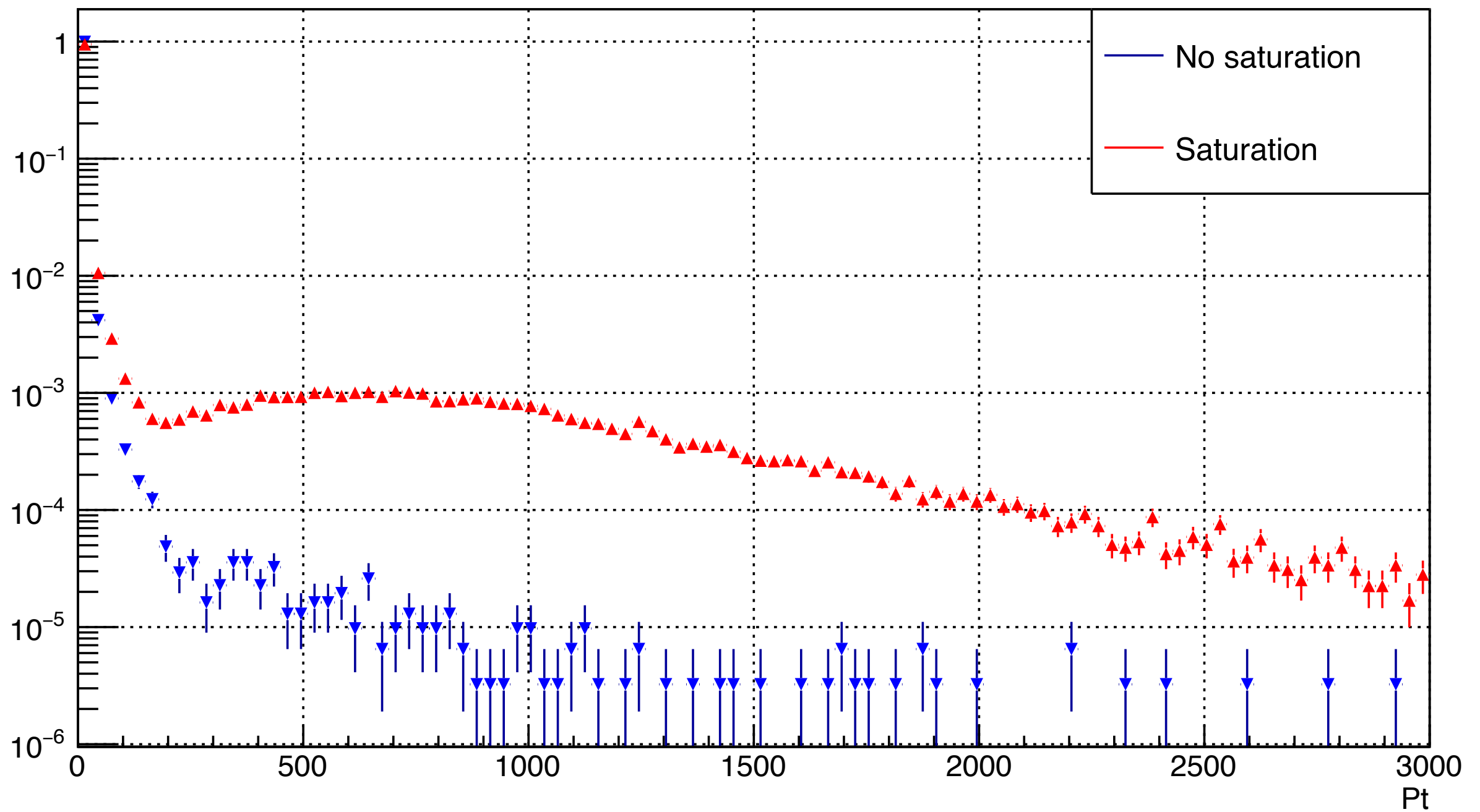


# Fraction de saturation

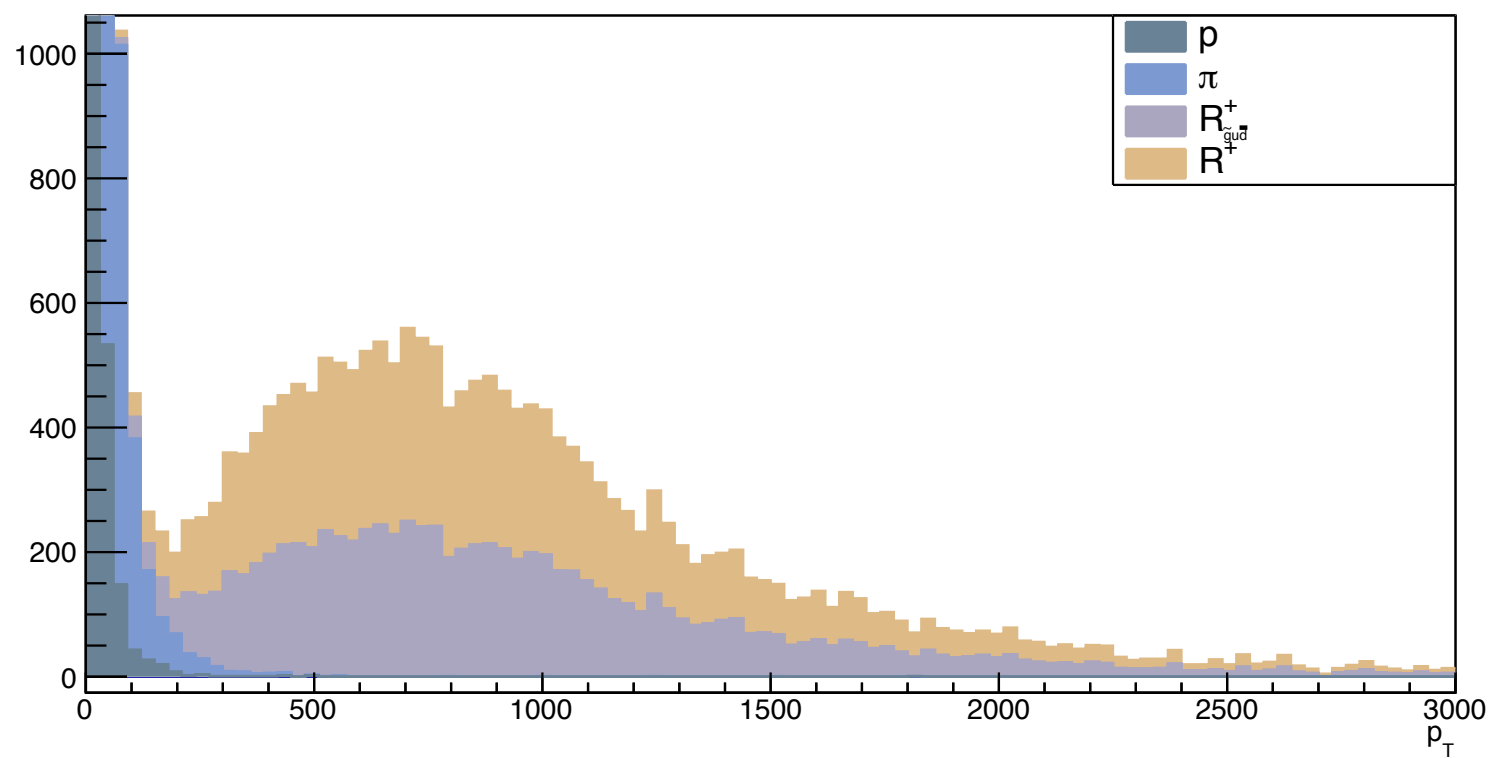


# Distribution du Pt

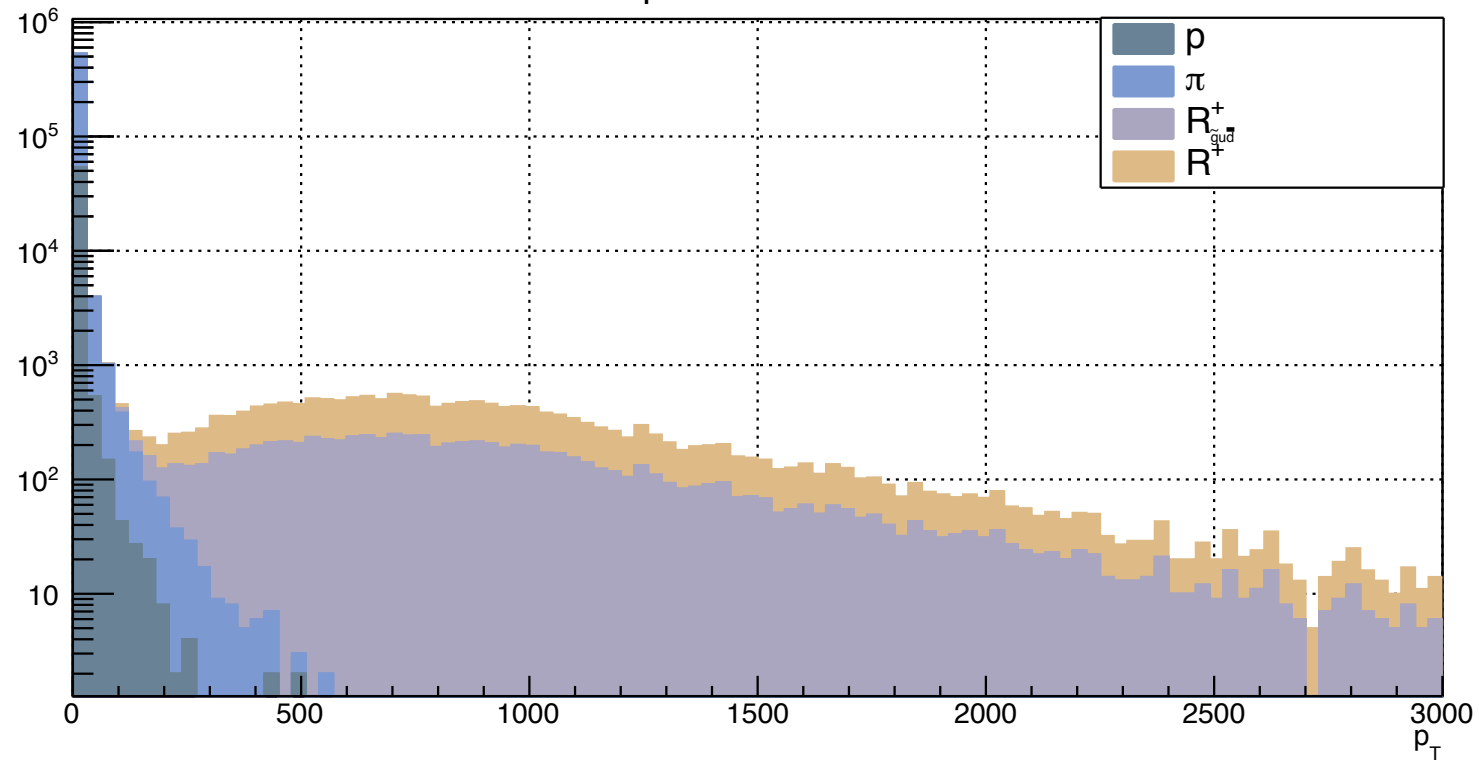
Entries 308187



Distribution en  $p_T$  pour differentes particules



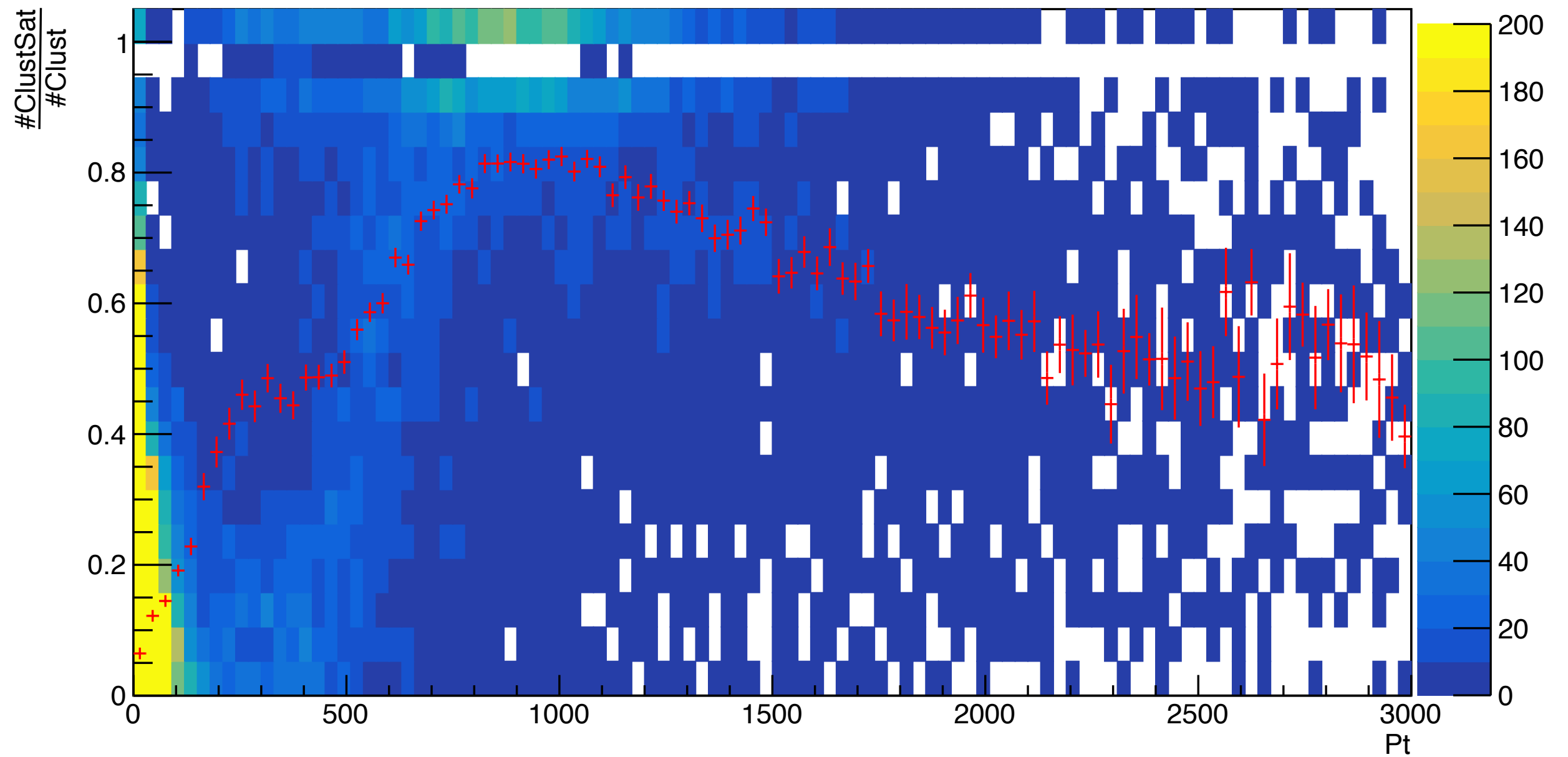
Distribution en  $p_T$  pour differentes particules



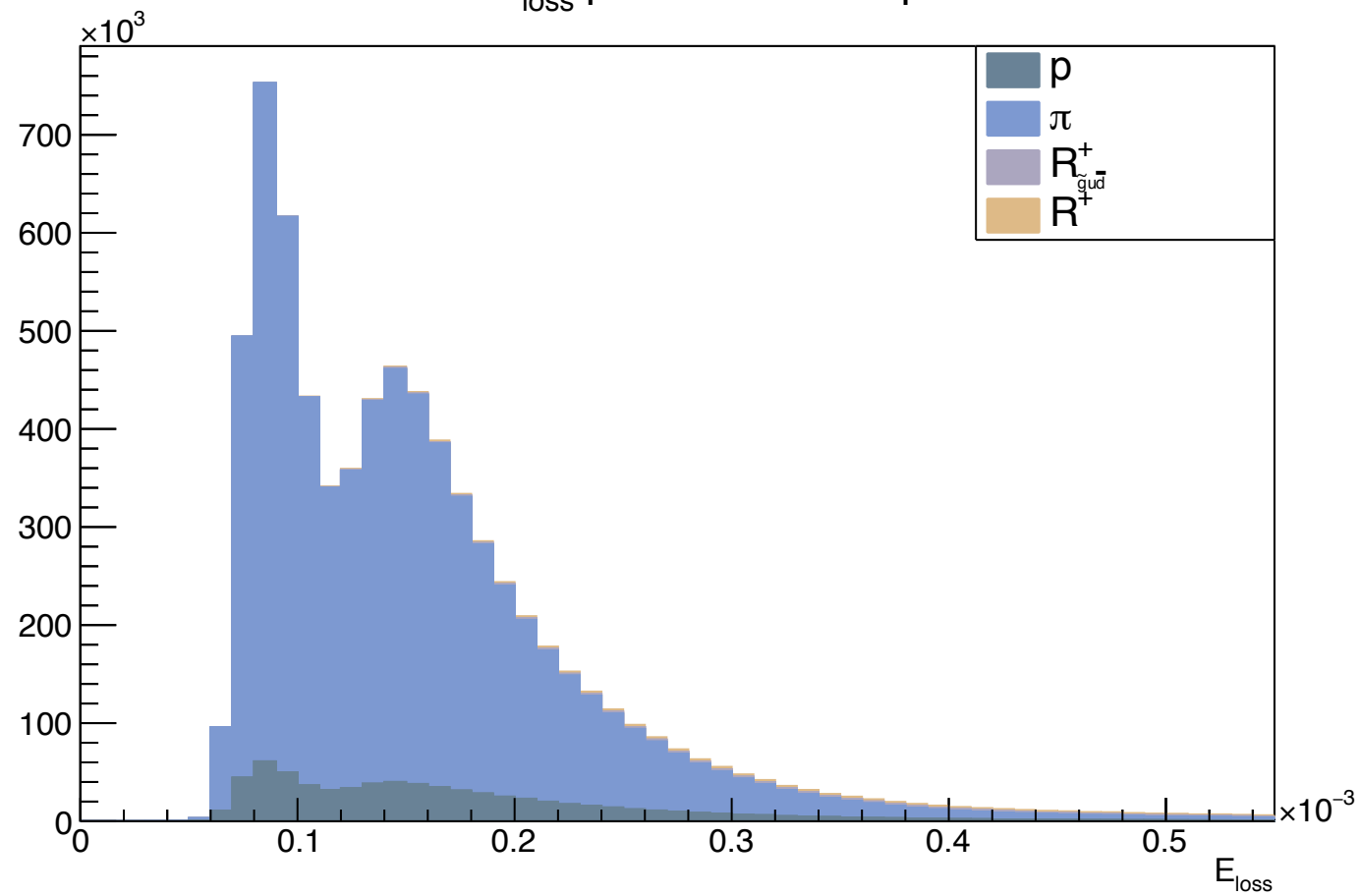


Frac Sat254 = f(Pt)

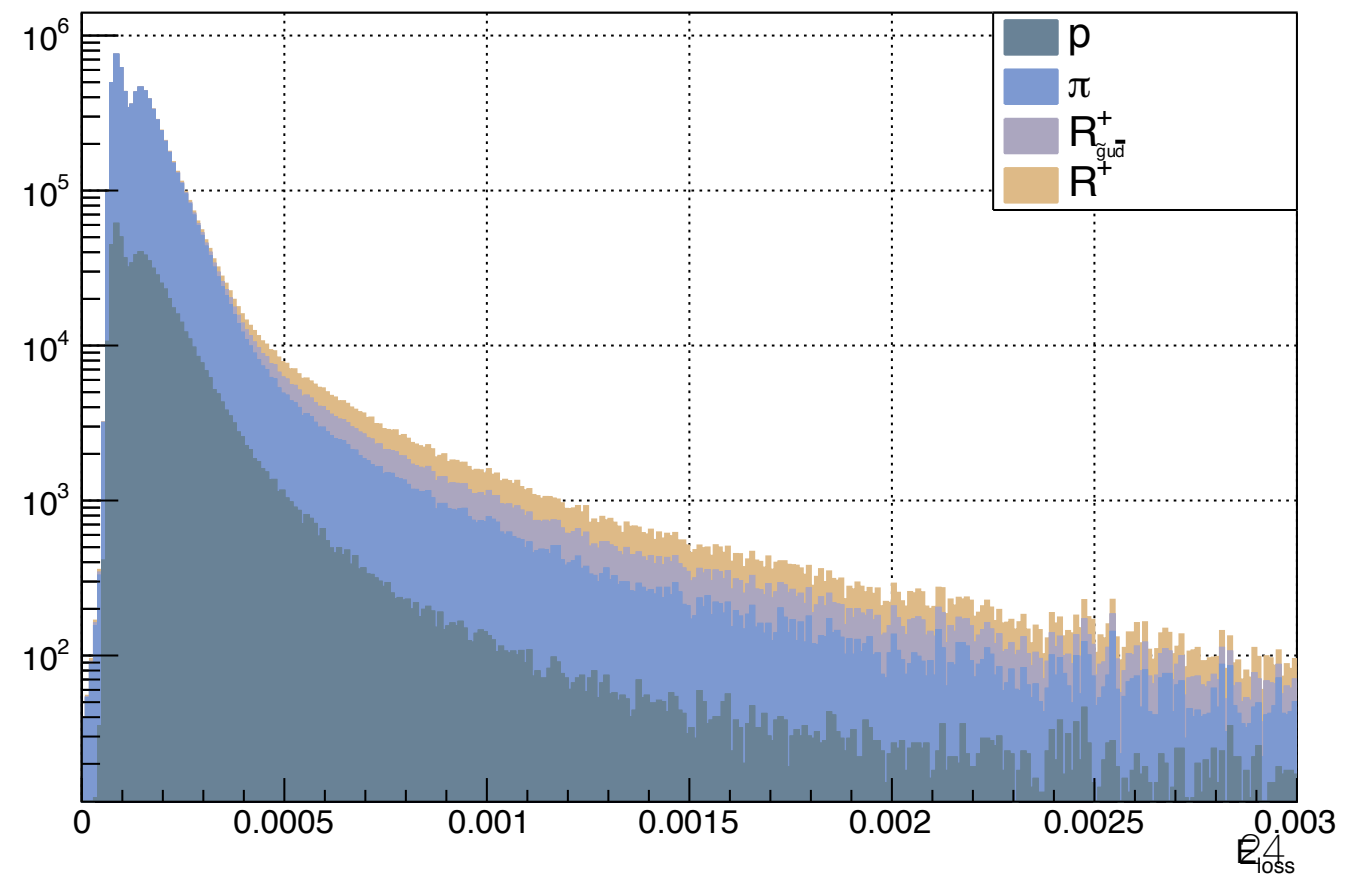
Entries 664832

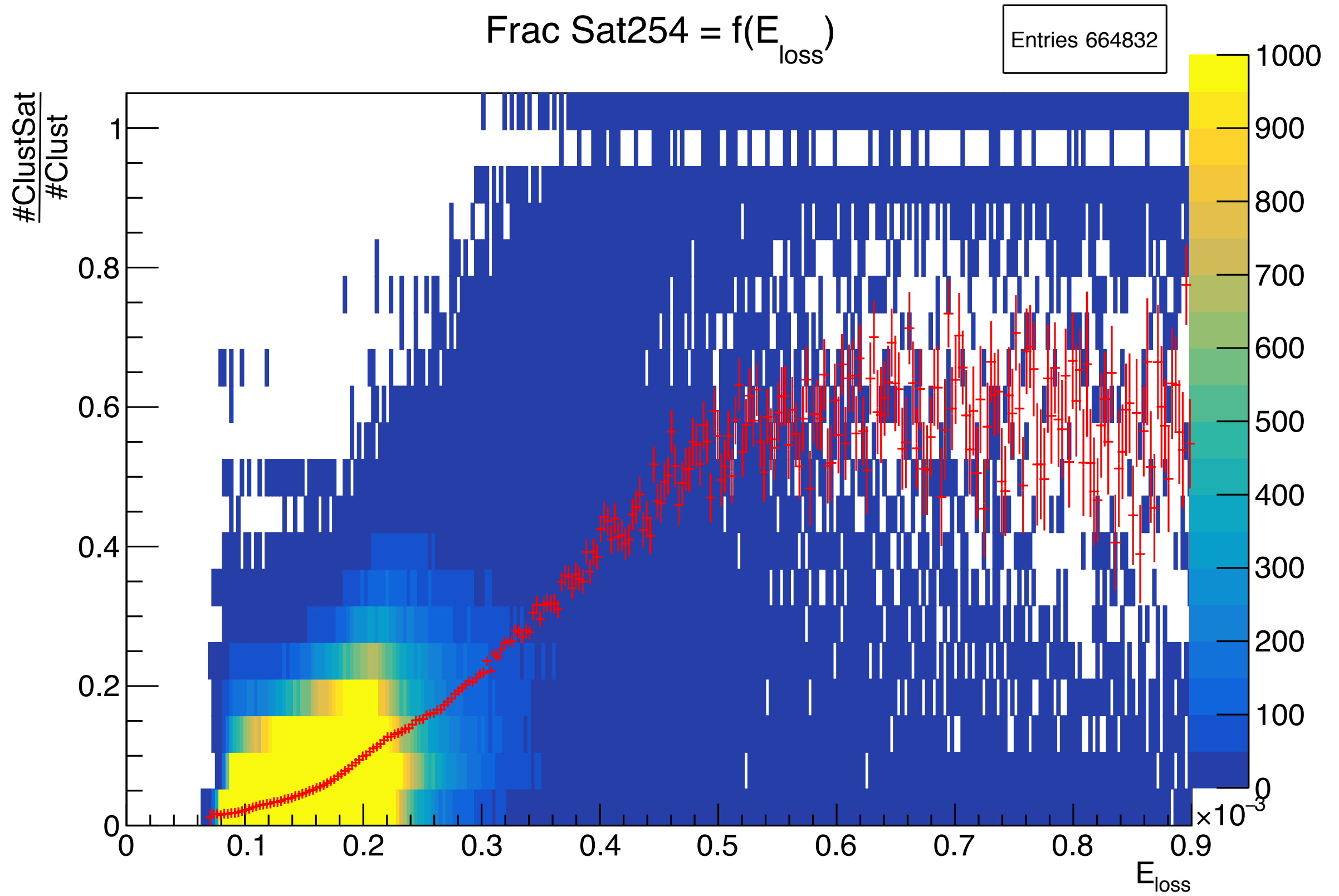


Distribution  $E_{\text{loss}}$  pour differentes particules

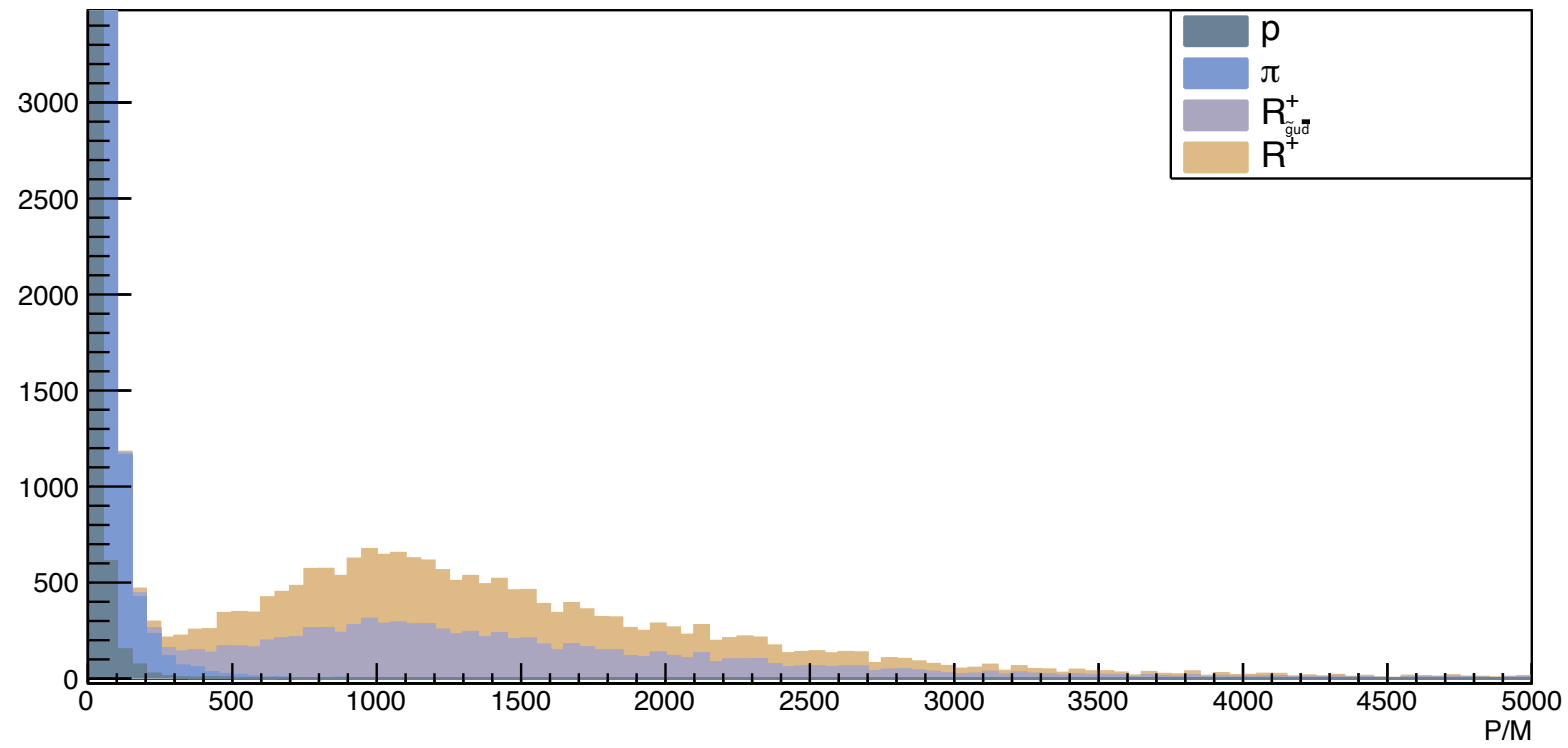


Distribution  $E_{\text{loss}}$  pour differentes particules

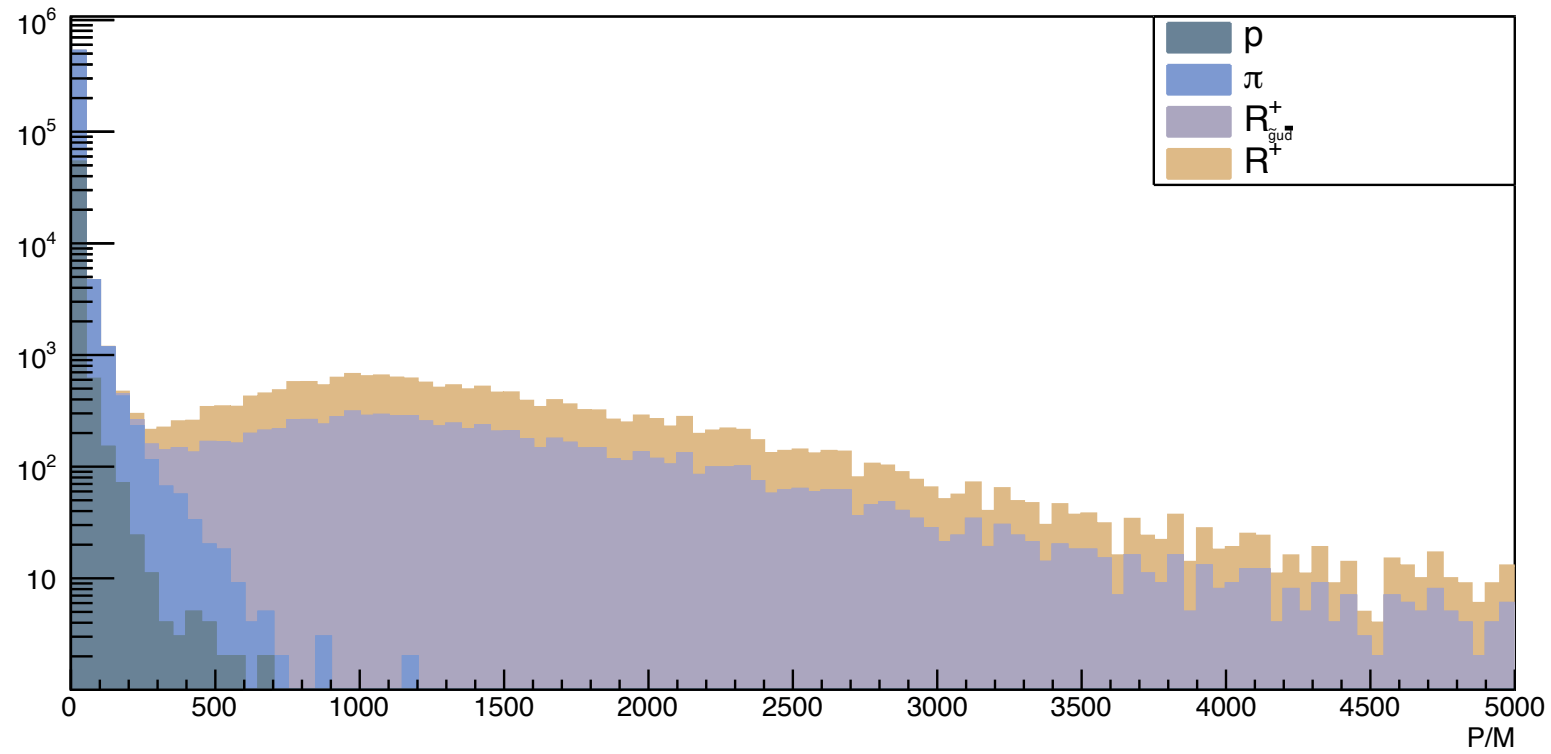




Distribution du P/M pour differentes particules



Distribution du P/M pour differentes particules



Frac Sat254 = f(PartID)

Entries 664832

